超超临界二次再热电站锅炉蒸汽吹管泄漏原因分析

彭学文1,胡智浩1,王坤1,赵玉林2

(1. 江西江投能源技术研究有限公司, 江西 南昌 330096; 2. 江西赣能股份有限公司丰城发电厂, 江西 丰城 331100)

摘 要:针对某1000 MW超超临界二次再热电站锅炉采用将过热器、再热器串联的一段降压蒸汽吹管方案,在吹管过程中陆续发生两处焊缝开裂现象。通过检查支吊架和失效部位,对临吹管道进行强度计算,分析了两次开裂的原因。结果表明,两处焊缝开裂均与多次循环冲管有关,其中管道角焊缝开裂与开孔未补强直接相关,主焊缝附近开裂是临时管道支架安装不符合要求、不等厚焊接对口处理和焊缝布置不规范等多重因素导致的。

关键词:超超临界;电站锅炉;蒸汽吹管;疲劳;应力;开裂

中图分类号:TK 224.9 文献标志码:B 文章编号:1006-348X(2025)05-0063-05

0 引言

锅炉机组部件在制造、运输、保管及安装过程中,受热面管排、集箱和管道内部易残留铁屑、锈垢、砂石、焊渣、氧化物等杂物,不仅会影响蒸汽品质,也容易造成受热面管子堵塞而发生爆管[1-3]。此外,细小氧化物颗粒进入汽轮机还会对其造成冲蚀[4-5]。因此,对锅炉及管道进行蒸汽吹管是新建电站锅炉机组整套启动试运前的重要环节[6-7],以保证机组投运后的蒸汽品质,同时,防止受热面爆管和汽轮机通流部件的损伤,确保机组设备安全和经济运行。

按电力行业相关标准¹⁸要求,吹管一般有一段吹管、两段吹管、稳压吹管和降压吹管等方式^[9-11]。二次再热机组因增加了一级再热器,延长了汽水流程,增加了介质流动阻力,蒸汽流通变得更为复杂,给吹扫工作增加了困难。华能安源电厂"上大压小"工程是国内首台660 MW超超临界二次再热机组,锅炉为π型,采用了三段降压吹管方式^[12-13];国能泰州电厂二期工程是国内首台(也是国际首台)1000 MW超超临界二次再热机组,锅炉为塔式炉,采用了两段降压吹管方式^[14-15]。随着工程经验的积累,也有技术人员提出对二次再热机组采用两段吹管改进方案和一段吹管方案^[16-17]。李贵鹏在二次再热机组中采用两阶段蓄热降压吹管方式取得了不错

的效果^[18];张晓东等通过分析二次再热机组不同吹管方式的优缺点后,提出采用两段法进行吹扫^[19]。

某电站锅炉为1000 MW超超临界二次再热塔式炉,采用将过热器、再热器串联的一段降压吹管方案,整个过程分为三个阶段进行,在第一阶段吹管时,临冲门旁路管角焊缝断裂,第二阶段吹管时,临冲门前主焊缝附近泄漏。通过分析该机组吹管方案、临吹管道布置方案,检查临时管道支吊架和开裂失效部位,得出失效原因,为发电机组的调试、运行提供一些参考经验。

吹管方案

锅炉主要设计参数见表1。

表 1 锅炉主要设计参数

项 目	BMCR
过热蒸汽流量/(t/h)	2765
过热蒸汽压力/Mpa	33.37
过热蒸汽温度/℃	605.0
一次再热蒸汽流量/(t/h)	2 430.18
一次再热器进口压力/Mpa	10.611
一次再热器出口压力/Mpa	10.311
一次再热器进口温度/℃	416.2
一次再热器出口温度/℃	623.0
二次再热蒸汽流量/(t/h)	2 093.96
二次再热器进口压力/Mpa	3.525
二次再热器出口压力/Mpa	3.275
二次再热器进口温度/℃	450.9
二次再热器出口温度/°C	623.0
给水压力/Mpa	37.37
给水温度/℃	325.0

该锅炉机组采用一段降压吹管方案,分三个阶段进

收稿日期:2025-03-21

作者简介: 彭学文(1985), 男, 硕士, 高级工程师, 主要从事电站金属材料检验检测工作。

故障分析 ②

FAULT ANALYSIS

行,第一、第二阶段在一、二次再热器进口加装集粒器,至 打靶基本合格;第三阶段继续吹管,直至打靶合格。按冲 管对象每个阶段均分两步进行,直至吹管打靶合格。

第一步(过热器、一次再热器及二次再热器串 联):启动分离器→各级过热器→过热器集汽集箱→ 主蒸汽管道→超高压主汽阀→临时管→主蒸汽临冲 门→一次低温再热进口管路→一次低温、高温再热器 →一次高温再热管路→高压主汽阀→临时管→临时 管集粒器→二次低温再热进口管路→二次低温、高温 再热器→二次高温再热管路→中压主汽阀→临时管 →靶板器→临时管→消音器→排大气。

第二步(高压旁路):启动分离器→各级过热器→ 过热器集汽集箱→主蒸汽管道→高压旁路→临时管 →高旁临冲门→一次低温再热进口管路→一次低温、 高温再热器→一次高温再热管路→高压主汽阀→临 时管→临时管集粒器→二次低温再热进口管路→二 次低温、高温再热器→二次高温再热管路→中压主汽 阀→临时管→靶板器→临时管→消音器→排大气。

2 临时管道设计

因主蒸汽临冲门附近管道发生开裂泄漏,只对此 部分临时管道布置进行分析。临时管道均采用 12Cr1MoVG无缝钢管,各临时管道设计参数及选用规 格见表2。临冲门选用WC9阀门,公称压力25 MPa, 内径400 mm,满足设计要求。

	表 2	临时官1	直设计参数
站时管道名称	设计归	E力/MPa	设计温度/℃

临时管道名称	设计压力/MPa	设计温度/℃	管道规格/mm
主汽临冲管道支管	12	450	Φ450×26
主汽临冲管道母管	8	450	Φ680×28
高旁阀吹扫管道	12	450	Φ406×25
临冲门旁路管	12	450	Ф6×6

二阶段吹管主蒸汽临冲门前后管道布置如图1 所示,管道支吊架设计参数见表3。

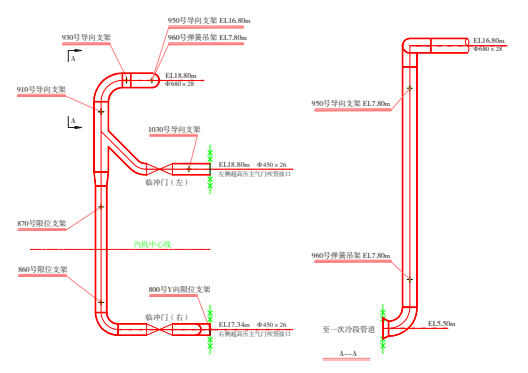


图 1 二阶段吹管主蒸汽临冲门后管道布置图

表3 二阶段临吹管道支吊架设计参数

支吊架编号	型式	工作载荷/N		热位移/mm	
又巾架绷亏	型式	工作報何/N	Dx	Dy	Dz
		Fx=0			
800	限位支架	Fy=-116 043	-18	-2	0
		Fz=-97 695			
		Fx=0			
860	限位支架	Fy=-76 677	-53	-14	0
		Fz=-56 811			
870	870 限位支架	Fx0,Fy=0	-52	14	0
870		Fz=51088	-32		Ü
910	导向支架	0	-40	41	8
930	导向支架	0	-28	46	11
050	950 限位支架	Fx=0, Fy=0	-21	35	0
930		Fz=-141 199	-21		U
960	弹簧吊架	Fz=-17 235	-37	-17	-55
1030	限位支架	Fx=0, Fy=0	-24	7	0
1030	Fz=121 505	-24	,	U	

注:+X方向为扩建端、+Y方向为锅炉侧、+Z方向为上侧。

3 吹管过程回顾

机组于某年10月27日冷态冲洗合格,当日,首 次点火开始热态冲洗,水质合格并达到压力后开始 第一阶段吹管,10月28日,第3次吹管因A侧主蒸 汽临冲门旁路角焊缝被冲破无法继续吹管,对管座 进行加固处理后继续吹管:10月29日,第5次吹管 又因A侧主蒸汽临冲门旁路角焊缝被冲破无法继续 吹管,随即取消旁路管道,对管孔用堵块焊接密封并 在外部焊接加强块加固处理;10月30日,完成第一 阶段12次吹管,随即对封堵旁路的管道进行更换; 11月06日,开始第二阶段吹管;11月08日,因A侧 主蒸汽临冲门前主焊缝边缘泄漏无法继续吹管,更 换A侧主蒸汽临冲门继续吹管;11月10日,开始第 三阶段吹管:11月11日,完成锅炉蒸汽吹管全部工 作,停机开始恢复系统。

4 原因分析

4.1 临时管道强度计算

根据表2的设计参数以及火力发电厂汽水管道 设计规范[20],对管道进行强度校核,校核结果见表4, 校核结果表明,采用的管道规格满足临时管道强度 要求[21]。

表 4 临时管道强度计算表

			mm
临时管道名称	管道规格	计算壁厚	结论
主汽临冲管道支管	Φ450×26	20.33	满足要求
主汽临冲管道母管	Φ680×28	20.73	满足要求
高旁阀吹扫管道	Φ406×25	18.34	满足要求
临冲门旁路管	Ф60×6	2.71	满足要求

4.2 临冲门旁路开孔补强计算

主蒸汽临冲门旁路管采用Φ60×6规格管道,临 冲门采用 Φ450×26 规格管道,管接头为安放式。依 据火力发电厂汽水管道设计规范,应对开孔进行补 强。临冲门旁路开孔部位未在主管上贴补补强,也未 采用加强型管接头,因此,只计算主、支管壁厚余量下 的补强面积。主管开孔孔径为48 mm,各补强面积计 算结果(均不考虑附加厚度)见表5。

表5 开孔补强计算结果

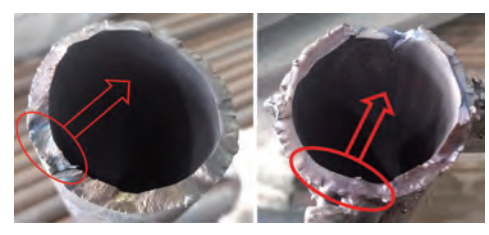
	mm ²
各补强面积	计算值
主管开孔需补强的面积A	975.84
主管补强面积 A1	362.88
支管补强面积 A2	98.7
角焊缝面积 A3	144

依据火力发电厂汽水管道设计规范,主、支管补 强面积及角焊缝面积之和应不小于主管开孔需补强 的面积。由表5数据可知,A1+A2+A3<A,因此,仅 靠管道壁厚余量补强不满足开孔补强要求。

4.3 现场检查

4.3.1 临冲门旁路管角焊缝断裂检查

在第一阶段吹管过程中,A侧主蒸汽临冲门旁路 管发生断裂,断裂位置为角焊缝边缘,断口形貌如图 2所示。由图2可知,两侧断口左下方(图中椭圆位 置)均出现了疲劳辉纹,且疲劳源位于管子内壁。



a) 临冲门前侧

b) 临冲门后侧

图 2 临冲门旁路两侧角焊缝断口形貌

4.3.2 临冲门前主焊缝开裂检查

在第二阶段吹管过程中,A侧主蒸汽临冲门前主焊 缝附近发生了蒸汽泄漏,停机检查发现此处有两条焊 缝,靠阀门侧焊缝是用于调整阀门内径时焊接短节时产 生的,该焊缝与阀门连接处有直台阶,开裂部位于此焊 缝靠台阶处熔合线位置。切管检查发现在该位置对应 内壁也出现了裂纹,内、外壁开裂部位均位于焊缝右侧 半圈。此外,靠阀门侧焊缝对口处内、外壁均有直台阶, 如图3所示。内外壁裂纹局部形貌如图4、图5所示。





a) 外壁

b) 内壁

图3 临冲门前侧台阶处开裂位置



外壁裂纹局部形貌



图 5 内壁裂纹局部形貌

4.3.3 临时管道支吊架检查

A侧主蒸汽临冲门前主焊缝边缘发生开裂,停机 更换该临冲门,并对临时管道支吊架进行检查。

管道布置于汽机17.0 m层操作平台,采用支架 支撑,支架脚撑与膨胀螺钉焊接固定在地面。检查发 现870号限位支架-X方向与管道紧贴,而表3中该支 架 X 方向热位移为-52 mm,即安装时应在-X 方向预 留52 mm间隙,但实际安装未预留间隙,从而阻碍管 道往-X方向热膨胀,管道支架如图6所示。





图 6 临时管道870号支架

故障分析 ∅

FAULT ANALYSIS

B侧临冲门后侧多安装了一个支架,该支架的作用 是在安装过程中临时支撑管道对口,该支架-Y方向也 与管道紧贴,阻碍了管道往-Y方向热膨胀,如图7所示。



图7 右侧临冲门前支架

4.4 开裂原因分析

4.4.1 临冲门旁路管角焊缝断裂原因分析

通过图 2 可以看出,管子发生了疲劳开裂,且疲劳辉纹的圆心朝向管子内壁,即疲劳裂纹是从管子内壁向外壁扩展。发生疲劳开裂主要是由于采用了降压吹管方案,导致临冲门频繁地开启和关闭,进而在角焊缝处产生了交变应力;此外,主管上的开孔没有进行必要的补强处理,这也是导致管子强度不足,进而发生开裂的另一个重要原因。

在交变应力与主管强度不足的综合作用下,管子内壁首先产生疲劳裂纹,随着交变应力的持续作用,裂纹向外壁逐渐扩展,并沿扩展方向产生疲劳辉纹,当管子剩余工作截面不足以承受负荷时,疲劳处发生瞬时断裂,出现裂口。此后,管子从裂口两端沿圆周方向发生撕裂,直至整个管子断裂。图2箭头方向为疲劳部位裂穿后的进一步撕裂方向。

4.4.2 临冲门前主焊缝边缘开裂原因分析

临冲门前主焊缝边缘开裂主要有两方面因素。一方面是焊接不规范,依据《火力发电厂焊接技术规程》(DL/T 869—2021)要求[22],内外壁尺寸均不相等时,应进行加工处理,使内外壁齐平,具体要求如图 8 所示。在临冲门前焊缝对口处,阀门一侧内外壁都存在台阶的情况下,该处管道对口未按标准要求进行加工处理,使管道对口内外壁直台阶处存在严重应力集中。另外,此处两条焊缝相距过近,也不符合焊接技术规程要求,焊缝过近会造成其热影响区相互交叉,易导致焊接结构变形或产生裂缝;两条焊缝靠得太近,也会导致焊缝应力集中更加严重,容易引起疲劳开裂。

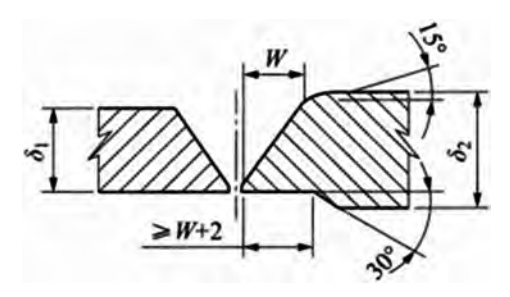
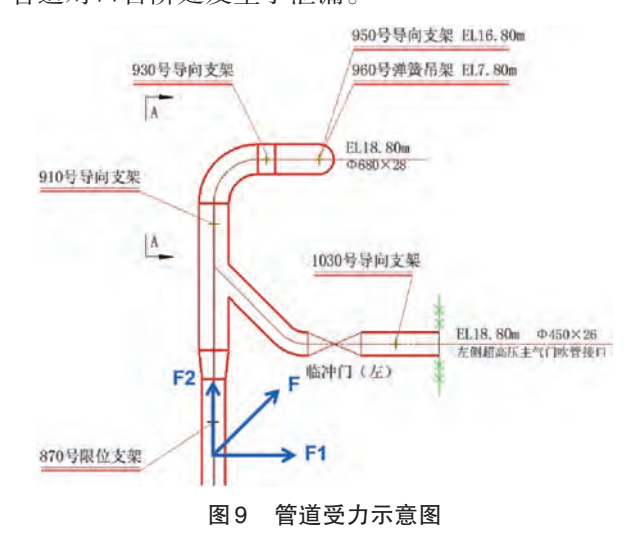


图8 内外壁尺寸不相等处理方法

另一方面是支架安装问题,870号限位支架在-X 方向未按设计要求预留膨胀间隙,热态下管道膨胀受阻会受到支吊架的反向推力F1;同理,B侧临冲门后多余的管道支架对管道增加了一个反向推力F2;F1、F2形成了一个合力F,受力示意图如图9所示。在热态下,合力F对A侧临冲门前的直台阶形成+Y方向的拉应力;临冲门在关闭时,存在一个瞬时反向力F',该力对A侧临冲门前直台阶形成-Y方向的拉应力,临冲门的多次开闭使得内外壁的直台阶受到交变载荷。最终,在应力集中与交变载荷的双重作用下,管道对口台阶处发生了泄漏。



5 结语

- 1) 临冲门旁路管座断裂失效与主管开孔未进行 补强直接相关,蒸汽吹扫采用降压吹扫方式,频繁开 启和关闭阀门对管座造成了冲击疲劳,加速了管座失 效断裂。
- 2) 高压主汽阀出口处临时管道安装时,未按照设计要求安装支吊架,导致其无法往预定方向膨胀,造成了管道受+Y方向和+X方向的合力;临冲门前侧不等厚

焊接对口处理不符合规范,存在应力集中区;采用降压 吹管方式频繁开启、关闭阀门。在以上条件共同作用 下,临冲门前侧主焊缝附近应力集中区开裂泄漏。

3)建议安装蒸汽吹管临时管道时,支吊架应严格按照设计文件进行安装,带间隙值的支吊架应加强控制,保证安装精度满足要求。不同厚度焊件组对时,厚度差应按焊接技术规范进行处理,焊缝布置应符合技术规程要求。

参考文献:

- [1] 柯浩, 孙涛, 阎光宗, 等. 超临界机组调试阶段水冷壁爆管原因分析及对策[J]. 锅炉技术, 2012, 43(06): 47-51, 64.
- [2] 周奎应. 超临界机组从基建到投产锅炉"四管"安全防治[J]. 中国特种设备安全,2010,26(06):68-71.
- [3] Zhang Y,Zhao Z,Zhang Q F, et al. Temporary Pipeline System Arrangement and Process Control for 600MW Transformation Unit Steam Blowing[J]. DEStech Transactions on Engineering and Technology Research, 2017.
- [4] 刘志江.超临界机组汽轮机固体颗粒侵蚀的综合研究[J]. 电力设备,2004(06):34-39.
- [5] 刘爽. 汽轮机固体颗粒冲蚀特性及防治研究进展[J]. 装备制造技术,2023(07):210-212.
- [6] 段宝.350 MW 超临界 CFB 锅炉吹管技术探讨[J]. 中国特种设备安全,2022,38(08):21-24.
- [7] 王子非,魏翔,马野.锅炉吹管方式及参数的选择[J].电站系统工程,2022,38(02):39-40.
- [8] 国家能源局.火力发电建设工程机组蒸汽吹管导则:DL/T

- 1269-2013[S].北京:中国电力出版社,2013.
- [9] 刘华生,毛忠军.1000 MW 塔式锅炉机组蒸汽吹管方法实 践应用[J].电力设备管理,2021(02):62-63.
- [10] 刘东,崔晓光,叶罗.1000 MW超超临界二次再热机组锅炉蒸汽冲管[J].电力科技与环保,2019,35(01):43-45.
- [11] 李学军,刘发圣.超临界机组吹管技术浅析[J].江西电力, 2014,38(01):87-89.
- [12] 陈有福,陶谦,管诗骈,等. 1000 MW二次再热示范机组降 压冲管研究[J].中国电力,2016,49(11):112-118.
- [13] 唐敏. 1000 MW 超超临界二次再热锅炉蒸汽吹管技术分析[J]. 机电信息,2016(09):80-81,83.
- [14] 高景辉,王林,杨博,等.国内首台二次再热机组锅炉混合 吹管实践及优化[J].热力发电,2017,46(08):107-112.
- [15] 王林,刘辉,刘超,等.二次再热机组锅炉三段吹管技术研究[J].中国电力,2017,50(07):69-73,78.
- [16] 张幼林,刘嘉.二次再热机组二段吹管方法的选择[J].锅炉制造.2022(01):22-23.
- [17] 部俊锋,齐达立.二次再热机组降压吹管优化方案[J].热力发电,2019,48(08):131-134.
- [18] 李贵鹏.1000 MW二次再热塔式锅炉吹管技术研究[J].山东电力技术,2021,48(11):77-80.
- [19] 张晓东, 薛宏涛. 超超临界二次再热机组锅炉吹管工艺探讨[J]. 电力勘测设计, 2024(03):41-45.
- [20] 国家能源局.火力发电厂汽水管道设计规范:DL/T 5054—2016[S].北京:中国电力出版社,2016.
- [21] 杨保林.600 MW火电机组锅炉吹管临时管道强度计算及选择[J].城市建设理论研究(电子版),2018(14):3.
- [22] 国家能源局.火力发电厂焊接技术规程:DL/T 869—2021 [S].北京:中国电力出版社,2021.

(上接第60页)

参考文献:

- [1] 董方.输电线路工程全过程机械化施工探究[J].电力设备管理,2021(08):129-131.
- [2] 国家电网有限公司.国家电网有限公司电力建设安全工作规程第1部分:变电:Q/GDW 11957.1—2020[S].北京:中国电力出版社,2021.
- [3] 邵冬亮,王龙,李志,等.输电线路全过程机械化施工评价分析及工程应用[J].山东电力技术,2018,45(11):32-36.
- [4] 杨学军.输电线路全过程机械化施工应用与设计研究[J]. 通讯世界,2018(08):158-159.
- [5] 汤程,崔明杰,尹林.输电线路机械化施工在江西电网建设中的深化应用研究[J].江西电力,2018,42(05):34-36.
- [6] 张爱虎,苏小青,李峰.110 kV 输电线路机械化施工方案的 深化应用[J].江西电力,2018,42(02):29-32.